

О. І. Демчина², Х. В. Демидова², І. Ю. Євчук², З. М. Коваль¹

¹Відділення фізико-хімії горючих копалин

ІФОХВ ім. Л. М. Литвиненка НАН України,

²Національний університет “Львівська політехніка”,

кафедра загальної хімії

ЗОЛЬ-ГЕЛЬ СИНТЕЗ І ДОСЛІДЖЕННЯ ВЛАСТИВОСТЕЙ СУЛЬФОВМІСНИХ ПОЛІМЕР-НЕОРГАНІЧНИХ МЕМБРАН

© Демчина О. І., Демидова Х. В., Євчук І. Ю., Коваль З. М., 2017

Синтезовано гібридні полімер-неорганічні мембрани на основі акрилових мономерів (зокрема, сульфовмісних) та наночастинок кремнезему, сформованих у результаті *in situ* золь-гель перетворення тетраетоксисилану (TEOS). Досліджено сорбційні характеристики мембран з різним вмістом сульфогруп і зшиваного агента – *N,N'*-метиленбісакриламіду для початкової стадії процесу дифузії парів води та розраховано коефіцієнти дифузії парів води у мембранах. Одержані нанокомпозитні мембрани характеризуються однорідною структурою, що підтверджено методом скануючої електронної мікроскопії.

Ключові слова: органо-неорганічна мембрана, паливний елемент, протонна провідність, золь-гель технологія, тетраетоксисилан.

O. I. Demchyna, Kh. V. Demydova, I. Yu. Yevchuk, Z. M. Koval'

SOL-GEL SYNTHESIS AND CHARACTERIZATION OF SULPHOCONTAINING POLYMER-INORGANIC MEMBRANES

© Demchyna O. I., Demydova Kh. V., Yevchuk I. Yu., Koval' Z. M., 2017

Hybrid polymer-inorganic membranes based on acrylic monomers (including those with sulfogroups) and silica nanoparticles formed in *in situ* tetraethoxysilane (TEOS) sol-gel reaction were synthesized. Sorption characteristics of membranes with different content of coupling agent *N,N'*-methylenebisacrylamide composition have been investigated for the initial stage of the process. Diffusion coefficients of water vapour into membrane structure were calculated. The obtained nanocomposite membranes have homogeneous structure, what is confirmed by scanning electron microscopy.

Key words: organic-inorganic membrane, fuel cell, ionic conductivity, sol-gel technique, tetraethoxysilane.

Вступ. Постановка проблеми. Мембранна наука і технологія забезпечують розвиток базових і високотехнологічних секторів економіки, а також ефективний розвиток важливих завдань соціальної сфери і проблем екології, тому вони є предметом дослідження багатьох науковців [1]. Сьогодні зусилля у цій області досліджень скеровані на пошук оптимальних варіантів складів і структур мембран для використання їх у конкретних галузях. Серед великого розмаїття мембран (трекові, іонообмінні, мікро-, ультра- і нанофільтраційні, зворотноосмотичні, газорозподільні тощо) зростаючий інтерес привертають мембрани для паливних комірок. Використання паливних комірок розглядається як один з основних напрямків збільшення енергоефективності економіки України. Прогнозують, що ця технологія буде комерційно доступною у найближчі роки. Тому актуальними є дослідження мембран – ключового елемента комірки.

В оглядах [2] проведено аналіз рівня технічного розвитку і потенційні можливості мембран різного складу і будови для паливних комірок, які працюють на водневому або метанольному паливі. Найчастіше це є високомолекулярні мембрани на основі гнучких полімерних ланцюгів, що містять функціональні групи (як правило, $-SO_3H$), здатні до переносу протонів. За досягнутими технічними показниками лідируюче становище займає мембрана Nafion. Останнім часом набули поширення дослідження з модифікації мембран типу Nafion неорганічними добавками. Неорганічні модифікатори у виглядіnanoструктурзованих оксидів (переважно SiO_2) дають змогу збільшити зв'язування води мембранами за рахунок гідрофільноти неорганічної складової, що сприяє довготривалому збереженню протонної провідності і підвищує температуру експлуатації мембрани.

Альтернативним підходом до створення високоефективних мембран для паливних елементів є синтез органо-неорганічних мембран, зокрема, із застосуванням золь-гель технології.

Аналіз останніх досліджень і публікацій. Модифікування відкриває широкі можливості для одержання мембран з різноманітними властивостями та покращеними експлуатаційними характеристиками на основі використання порівняно невеликої кількості серійних мембрани. До такого результату приводить насамперед зміна природи стінок пор і каналів мембрани, якими здійснюється перенос іонів, і специфічна взаємодія на поверхні розділу органічної і неорганічної фаз. У результаті модифікування полімерних мембран неорганічними добавками одержують полімер-неорганічні композитні матеріали.

Для модифікації мембраних матеріалів наночастинками застосовують два основні підходи: одержання мембрани відливанням з розчинів, що містять дрібнодисперсні присадки, і синтез наночастинок безпосередньо у матриці мембрани.

Перший із вказаних методів є простішим. Однак цей спосіб не завжди успішний, оскільки дрібнодисперсні частинки схильні до формування агрегатів, які не завжди руйнуються під час переходу в розчин, що істотно знижує ефективність модифікації. У деяких випадках введенням наночастинок було досягнуто підвищення протонної провідності одержаних матеріалів. Так, підвищення протонної провідності вдалось домогтись шляхом модифікації поліариленефірketонів з різним ступенем сульфування нанодисперсним кислим фосфатом цирконію [3]. В останні роки популярними стали дослідження з наповнення мембрани наночастинками вуглецю і вуглецевими нанотрубками [4]. Така модифікація дає змогу регулювати механізм провідності мембрани і їхню проникність по відношенню до різних речовин.

Другий підхід до модифікації мембрани є перспективнішим і використовується частіше. Готові мембрани можуть бути унікальною матрицею для синтезу наночастинок, оскільки наявні у них нанопори можуть ефективно адсорбувати вихідні реагенти і бути своєрідними нанореакторами для синтезу наночастинок. Отже, синтезовані матеріали, що містять у своєму складі нанорозмірні частинки оксидів кремнію, цирконію [5]. При цьому в ході синтезу формувались частинки з розмірами кількох нанометрів, що відповідало розміру пор вихідної мембрани.

Перспективним вважається синтез наночастинок у матриці мембрани, який здійснюється за допомогою золь-гель-технології. Цей метод дає змогу одержувати неорганічні наночастинки за одночасного формування полімерної матриці. Золь-гельсистема, введена у полімеризаційне середовище, зазнає золь-гель перетворення, при цьому утворюються неорганічні наночастинки, які поєднуються із полімерними ланцюгами, формуючи спільну органо-неорганічну сітку, що забезпечує нанокомпозиту потрібні властивості.

Золь-гельтехнологія одержання мембрани типу органіка/неорганіка широко використовується для одержання матеріалів, які застосовуються в альтернативній енергетиці, і кількість робіт у цьому напрямку стрімко зростає. У [6] органо-неорганічні мембрани синтезовано золь-гель методом на основі 3-гліцидилоксипропілметоксисилану та фосфоноцтової кислоти за різних їх співвідношень. Одержані мембрани відзначались високими термостабільністю, механічною міцністю, прозорістю та провідністю.

За синтезу гібридних нанокомпозитів на основі полівінілового спирту і алкоксидних прекурсорів золь-гельпроцесу переважно відбувається фазове розділення, спричинене водневими зв'язками, які виникають між гідроксильними групами полівінілового спирту, і матеріал виходить неоднорідний. Однак, якщо як вихідний матеріал взяти полівінілацетат і використати кислотний катализатор золь-гельреакції, то під час одночасного проведення гідролізу ефірних функціональних груп органічного полімеру і формування неорганічної складової, стає можливим одержати однорідний прозорий полімерний гібрид полівінілового спирту і силікагелю [7].

Однорідні органо-неорганічні мембрани можуть бути одержані не тільки завдяки водневим зв'язкам. Як приклад, у [8] описано синтез полімер-неорганічного композиту на основі полістиролу як органічної матриці і фенілтриметоксисилану як прекурсора золь-гельреакції. У цьому випадку виникають π - π взаємодії між полістиролом і неорганічною складовою.

Використовуючи органо-неорганічні мембрани у паливних комірках для забезпечення високого рівня іонної провідності, полімерну матрицю синтезують, як правило, на основі мономерів, які у своєму складі містять сульфогрупи. Згідно з [9], гібридні мембрани Nafion/SiO₂, виготовлені золь-гельметодом, успішно використовувались у прямих метанольних паливних елементах (DMFC) завдяки простій процедурі виготовлення і зменшенню кроссовера метанолу. Головною причиною високої проникності по відношенню до метанолу мембрани Nafion є наявність пор, які у разі гібридної мембрани заповнюються наночастинками SiO₂ під час золь-гельперетворення TEOS, а це знижує кроссовер метанолу.

У [10] одержано мембрани із сульфованого полі(2,6-диметил-1,4-феніленоксиду) (SPPO) та 3-амінопропілтриетоксисилану (A1100), використовуючи золь-гельметод. Ця мембра демонструвала високу протонну провідність і малу (порівняно з Nafion 117) метанольну проникність.

З використанням золь-гельметоду була виготовлена гібридна мембра сульфований полі(ариленефірефіркетонкетон) (SPAEEKK)/кремнезем та аналогічна мембра, допована фосфатною кислотою [11]. Протонна провідність мембран без H₃PO₄ і допованих H₃PO₄ знаходилась у діапазоні 0,02–0,082 См/см і 0,024–0,097 См/см, відповідно, а метанольна проникність становила 1,4×10⁻⁷ см²/с та 6,9×10⁻⁷ см²/с. Порівняно з мембраною Nafion-117, яка за температури 80 °C має протонну провідність 0,1 См/см і метанольну проникність 7,7×10⁻⁶ см²/с, гібридна мембра SP/Si/POH-15 мала, відповідно, 0,078 См/см і 6,06×10⁻⁷ см²/с. Як бачимо, метанольна проникність запропонованої мембрани нижча на 92,1 %. Такі мембрани є потенційними кандидатами для полімерних електролітів для DMFC-комірок. Впровадження наночастинок кремнезему у полімерну матрицю SPAEEKK також підвищує термічну стабільність гібридних продуктів, що можна поєднати із високою термічною стабільністю кремнезему і гібридним зшиванням.

Отже, гібридні полімер-неорганічні мембрани широко застосовуються, зокрема, як полімерні електроліти у паливних комірках. Актуальним залишається пошук альтернативних способів модифікування полімерних мембран неорганічними компонентами з метою одержання нанокомпозитних матеріалів із покращеними експлуатаційними характеристиками.

Мета роботи – золь-гельсинтез гібридних полімер-неорганічних мембран на основі акрилових мономерів (зокрема, сульфомісних) та наночастинок кремнезему і дослідження їхніх сорбційних властивостей.

Експериментальна частина. Для виготовлення мембран використовувались акрилові мономери: акрилоніトリл (AN), акриламід (AAm), калієва сіль 3-сульфопропілакрилату (SPAK). Як прекурсор золь-гельпроцесу застосовували тетраетоксисилан (TEOS), як зшивач полімерної матриці – *N,N'*-метиленбісакриламід (MBA). Реагенти були придбані у Sigma-Aldrich і використовувались без додаткового очищення.

Таблиця I
Склад вихідних композицій

Зразок мембрани	SPAK (ваг. %)	AAm (ваг. %)	AN (ваг. %)	MBA (ваг. %)
PS1	5	70	23	2
PS2	10	66	22	2
PS3	15	62	21	2
PS4	15	61,5	20,5	3

У табл. 1 наведені склади вихідних сумішей мономерів для приготування мембран. Для ініціювання УФ-полімеризації до суміші компонентів додавали 2 ваг. % фотоініціатора IRGACURE 651 (2,2-диметокси-1,2-дифенілетан-1-он). Компоненти змішували упродовж 35 хв на магнітній мішалці при 500 об/хв. Розчин золь-гель прекурсора готували змішуванням тетраетоксисилану (TEOC), етанолу, води і каталізатора – фосфатної кислоти за співвідношення 1:4:2:1,8 моль. Розчин додавали до полімеризаційної суміші у кількості 20 ваг. %. Потім уся композиція поміщалась у тефлонові форми і піддавалась УФ-опроміненню з інтенсивністю 14 Вт/м². Одержані мембрани відмивались від непрореагованих компонентів ацетоном і водою і сушились у сушильній шафі за температурі 50 °C до постійної ваги.

Морфологію синтезованих мембран досліджували на скануючому електронному мікроскопі Ultra 55 (Carl Zeiss SMT, Jena, Germany)¹. Для одержання знімків поперечного перерізу дегідратовані зразки спочатку фракціонували, а потім поміщали у рідкий азот. Перед SEM-дослідженням зразки покривалися тонким шаром платини (3 нм) методом напилення і закріплювались в алюмінієвих тримачах за допомогою мідної стрічки. Електронні зображення отримували, використовуючи пучок напругою 3 KeV і детектор SE2.

Ступінь поглинання мембранами парів води оцінювали за зміною маси зразка. Після набрякання сухої мембрани її зважували з точністю до ±0,00005 г. Ступінь поглинання парів води (ΔP) розраховували за формулою

$$\Delta P = (m_{wet} - m_{dry}) \times 100\% / m_{dry}, \quad (1)$$

де m_{wet} і m_{dry} – маса гідратованої та сухої мембрани.

Результати і обговорення. У результаті проходження у системі TEOC – C₂H₅OH – H₂O каталізованої фосфатною кислотою золь-гельреакції утворюються наночастинки кремнезему, які зв'язуються водневими зв'язками з полімерними ланцюгами органічної матриці, що формується у процесі фотоініційованої радикальної кopolімеризації акрилових мономерів. Схему синтезу акрилового кopolімера умовно зображено на рис. 1.

Важливою характеристикою гіbridних мембран, призначених для експлуатації у паливних комірках, є їхня сорбційна здатність. Синтезовані органо-неорганічні нанокомпозити містять у своєму складі сульфогрупи. Наявність цих функціональних груп є необхідною, оскільки сульфогрупи мають високу здатність до дисоціації у воді, чим забезпечують іонну провідність матеріалу.

У попередній статті ми дослідили сорбційну здатність цього виду мембран за різних температур та за різного вмісту неорганічної складової. Було встановлено, що збільшення вмісту неорганічного компонента у складі мембран та зростання температури експозиції веде до посилення водопоглинальних властивостей мембран.

¹ Морфологічні дослідження виконані Х. Демидовою в Leibniz Institut für Polymerforschung у межах програми стажування аспірантів DAAD.

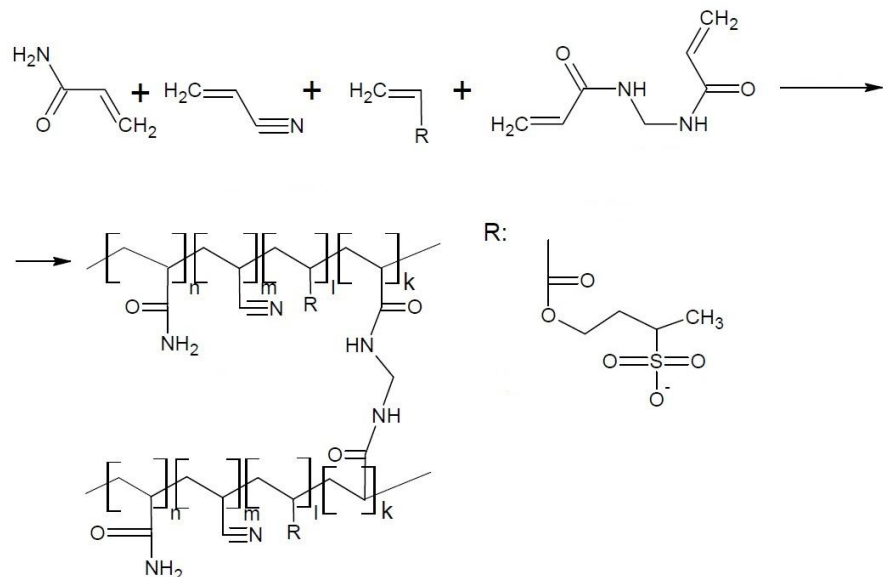


Рис. 1. Схема синтезу полімерної матриці

З метою з'ясувати, як впливає вміст сульфогруп у синтезованих нанокомпозитах на їхні сорбційні властивості, були синтезовані мембрани з різним вмістом сульфопропілакрилату. Також цікаво було дослідити вплив структури нанокомпозиту на цю характеристику. Структура нанокомпозиту значною мірою визначається кількістю зшивача, який забезпечує щільність зшивання ланцюгів кopolімеру (схему 1), тому було синтезовано нанокомпозити з різним вмістом зшивуючого агента - *N,N'*-метиленбісакриламіду.

Результати експериментального вимірювання сорбційних характеристик синтезованих мембран по відношенню до парів води за кімнатної температури показані на рис. 2. Аналіз отриманих результатів свідчить про залежність сорбційних характеристик мембран від їхньої структури та вмісту у їхньому складі сульфогруп.

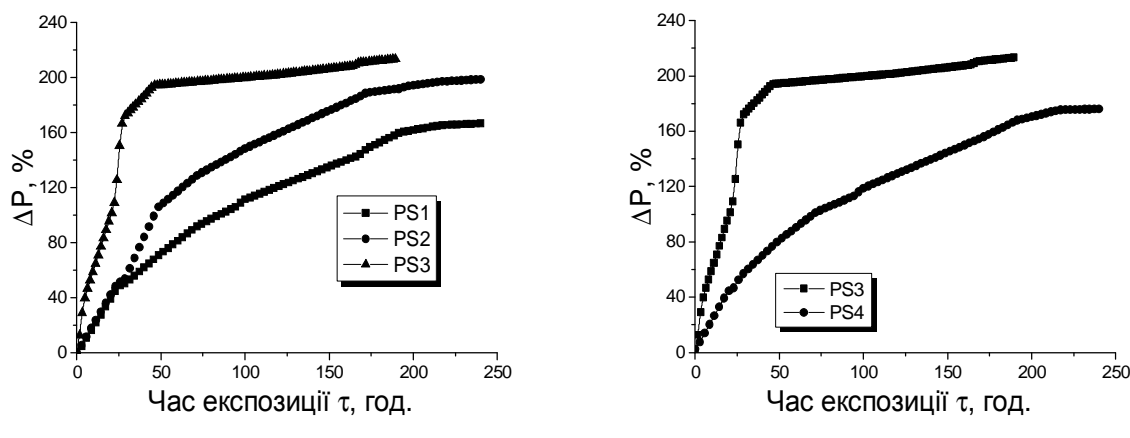


Рис. 2. Ізотерми поглинання парів води мембранами:
а – з різним вмістом SPAK; б – з різним вмістом MBA

На рис. 2, а спостерігається помітна різниця у сорбційній поведінці мембран з різним вмістом сульфогруп: насичення досягається найшвидше мемброною PS3, у складі якої є найбільший вміст сульфогруп – за ~ 35 год. Ізотерма сорбції у цьому випадку характеризується різким підйомом у перші 35 год. У двох інших мембронах насичення відбувається повільніше, ізотерми поглинання

парів води мають пологіший вигляд. Поглинання парів води є дуже високим для усіх мембран. Як і треба було чекати, значення відносного водопоглинання під час насичення зростає із збільшенням вмісту сульфогруп: найбільше для мембрани PS3 – 213 %, для мембрани PS2 і PS1 становить 198 та 166 %, відповідно.

Рис. 2, б демонструє чітку залежність сорбційних властивостей нанокомпозиту від структури полімерної матриці. Нанокомпозит щільнішої структури, яка зумовлена наявністю більшої кількості зшивок завдяки більшому вмісту зшивача, має відносно нижче насичення порівняно із зразком з меншим вмістом зшивача (у першому випадку ΔP_n становить 213 %, у другому – 176 %). Час досягнення насичення становить 165 і 217 год. Для мембрани PS3 у перші 35 год спостерігаємо швидкий початковий етап сорбції. Мембрана PS4 накопичує воду поступово протягом усього часу експозиції.

Для розрахунку коефіцієнтів дифузії сорбату – парів води у досліджувані мембрани за експериментальними даними використаємо другий закон Фіка:

$$\frac{\partial c}{\partial t} = D \frac{\partial^2 c}{\partial x^2}, \quad (2)$$

де D – коефіцієнт дифузії; c – концентрація дифузанта; t – час; x – відстань від краю зразка.

Згідно з [12], на початковій стадії процесу, врахувавши, що товщина зразка набагато менша за його інші виміри, рівняння Фіка можна записати у такому вигляді:

$$\frac{\Delta P}{\Delta P_n} = 4 \left(\frac{Dt}{p(2l)^2} \right)^{\frac{1}{2}}, \quad (3)$$

де ΔP – маса сорбату у системі за час дифузійного процесу t ; ΔP_n – рівноважне значення маси сорбату в об'ємі полімера; l – товщина напівбезкінечної пластини.

З цього виразу випливає, що у координатах $\Delta P / \Delta P_n - t^{1/2}/l$ криві сорбції повинні спрямлюватися із нахилу цих кривих можна розрахувати коефіцієнт дифузії. На рис. 3 показано початкові ділянки ізотерм сорбції у координатах цього рівняння.

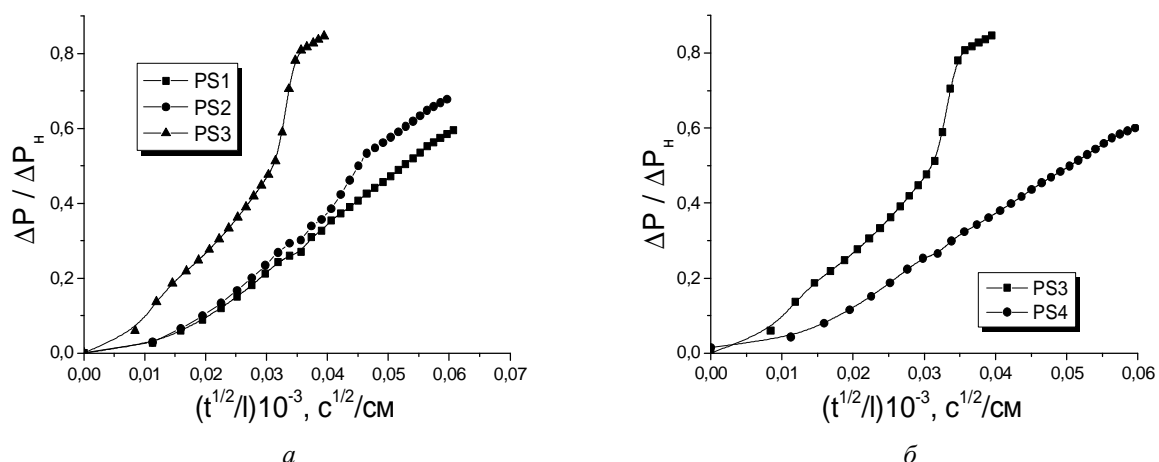


Рис. 3. Кінетичні криві сорбції води мембранами у координатах Фіка:
а – з різним вмістом сульфогруп; б – з різним вмістом зшивача

У табл. 2 наведені параметри дифузійного процесу у синтезованих мембрanaх. Швидкість сорбції ΔV , тобто швидкість надходження дифузанта у матеріал, розраховували як відношення кількості сорбату ΔP до часу на початковій ділянці ізотерми сорбції.

Таблиця 2

Параметри процесу дифузії парів води

№	Зразок мембрани	T, °C	ΔP_h , %	τ_h , год	D, cm^2/s	V, c^{-1}
1	PS1	50	166	217	$1,31 \cdot 10^{-7}$	$2,32 \cdot 10^{-4}$
2	PS2	50	198	200	$1,89 \cdot 10^{-7}$	$3,05 \cdot 10^{-4}$
3	PS3	50	213	165	$6,03 \cdot 10^{-7}$	$1,21 \cdot 10^{-3}$
4	PS4	50	176	217	$1,29 \cdot 10^{-7}$	$3,49 \cdot 10^{-4}$

Із зростанням вмісту сульфогруп у композиті зростає коефіцієнт дифузії парів води і швидкість сорбції у структуру матеріалу. Із збільшенням вмісту зшивача коефіцієнт сорбату зменшується, оскільки цьому не сприяє щільніша структура матеріалу.

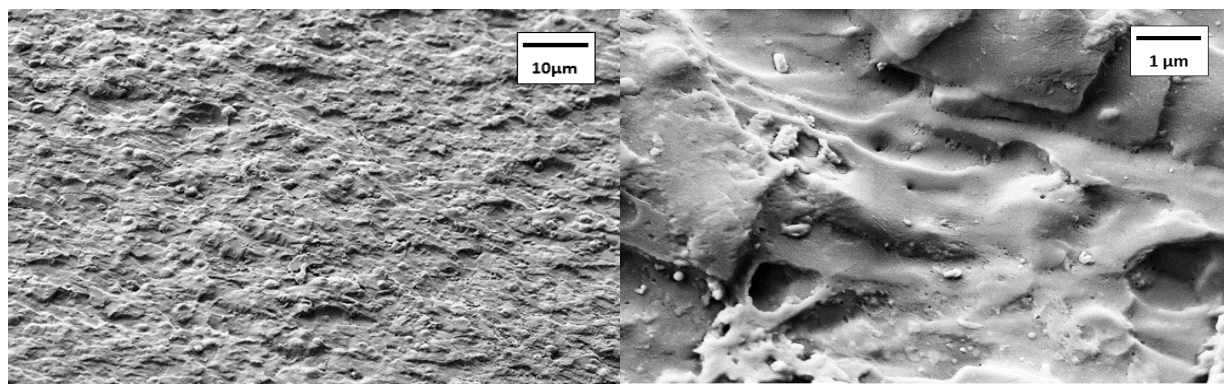


Рис. 4. СЕМ зображення поперечного перерізу мембрани PS2:
а – зближення 10 мкм, б – зближення 1 мкм

На рис. 4 показано СЕМ зображення внутрішньої морфології поперечного перерізу композиту складу PS2 за меншого та більшого зближення, а на рис. 5 показано СЕМ зображення поперечного перерізу плівок складу PS3 та PS4. Приблизна товщина синтезованих плівок, за даними СЕМ-вимірювань, знаходитьться у межах 110–150 мкм. У морфології усіх зразків наявні пори, проте із незначною зміною складу полімерної матриці розмір та кількість дірок значно змінюється. Припускаємо дві ймовірні причини утворення пор у внутрішній структурі мембрани: перша – внаслідок випаровування розчинників під час процесу фотоініційованої полімеризації; друга – міжфазові взаємодії між мономерами різної природи, оскільки за синтезу використовується гідрофобний акрилонітрил та гідрофільні акриламід та сульфопропілакрилат, що призводять до формування доменів різних типів.

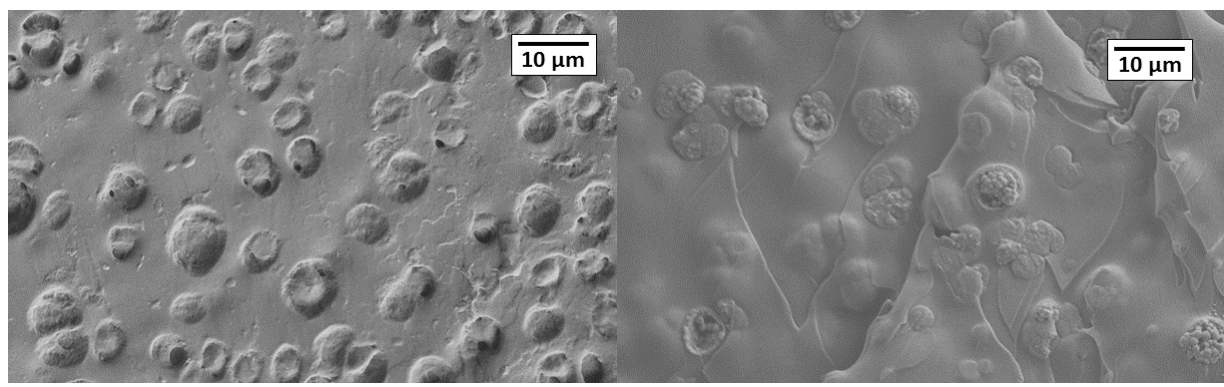


Рис. 5. СЕМ-зображення поперечного перерізу мембран складу:
а – PS3; б – PS4

Встановлено, що зі збільшенням SPAK у вихідній суміші мономерів розмір та кількість пор значно збільшується у синтезованому композиті. Так, у мембрани із вмістом SPAK 10 ваг. % у полімерній матриці внутрішня структура мембрани однорідна та щільна з дрібними дірками, проте у плівці, що містить 15 ваг. % SPAK, внутрішня структура пориста з розміром пор до 10 мкм. Також помітний вплив кількості зшивача у вихідній мономерній суміші на внутрішню морфологію отриманих плівок. За збільшення кількості зшивача у мономерній суміші в утворених плівках помітні значні міжфазові розділення. Так, у внутрішній структурі плівки складу PS4 пори заповнені скученнями, ймовірно, це є домени гідрофобного компонента полімерної матриці. Такий результат спростовує припущення, що зі збільшенням кількості зшивача плівки будуть стійкішими.

Висновки. Синтезовані методом УФ-ініційованої полімеризації із застосуванням золь-гель-технології полімер-неорганічні мембрани проявляють значні сорбційні властивості, які залежать від складу мембрани (вмісту сульфогруп та зшивача полімерної сітки). Під час застосування отриманих плівок у галузі мембраних технологій за результатами цього дослідження перспективною є полімер-неорганічна мембрана складу PS3, оскільки вона характеризується кращими сорбційними характеристиками порівняно з іншими, описаними у цій роботі плівками, що зумовлено її пористою структурою.

1. Волков В. В., Мчедлишвили Б. В., Родугин В. И. и др. Мембранные и нанотехнологии // Российские нанотехнологии. – 2008. – Т. 3, № 11–12. – С. 67–99.
2. Jones D. J., Roziere J. Inorganic-organic Composite Membrane for PEM Fuel Cells // Handbook of Fuel Cells — Fundamentals, Technology and Applications / eds W. Vielstich, H. A. Gasteiger, A. Lamm. Vol. 3: Fuel Cell Technology and Applications. New York: John Wiley and Sons Ltd. – 2003. – P. 447–455.
3. Фоменков А. И., Пінус І. Ю., Перегудов А. С. та ін. Протонная проводимость поликарбонатных поліариленсілікофіретонов с разной степенью сульфирования и ее повышение введением нанодисперсного кислого фосфата циркония // Високомол. соед. Сер. Б. – 2007. – Т. 49, № 7. – С. 1299–1305.
4. Thomassin J. M., Koller J., Caldarella G et al. Beneficial effect of carbon nanotubes on the performances of Nafion membranes in fuel cell applications. // J. Membr. Sci. – 2007. – Vol. 303, Iss. 1–2. – P. 252.
5. Воропаєва Е. Ю., Стенина И. А., Ярославцев А. Б. Транспортные свойства мембран МФ-4СК, модифицированных гидратированным оксидом кремния // Ж. неорган. химии. – 2008. – Т. 53, № 10. – С. 1637–1642.
6. Kato M., Katayama S., Sakamoto W. et al. Synthesis of organosiloxane-based inorganic/organic hybrid membranes with chemically bound phosphonic acid for proton-conductors // Electrochim. Acta. – 2007. – Vol. 52, Iss. 19. – P. 5924–5931.
7. Tamaki R., Chujo Y. Synthesis of poly(vinyl alcohol) silica-gel polymer hybrids by in-situ hydrolysis method // Appl. Organometal. Chem. – 1998. – 12 (10–11). – P. 755–762.
8. Tamaki R., Samura K., Chujo Y. Synthesis of polystyrene and silica-gel polymer hybrids via pi-pi interactions // Chem. Commun. – 1998. – 10. – P. 1131–1132.
9. Xi J., Wu Z., Qiu X. et al. Nafion/SiO₂ hybrid membrane for vanadium redox flow battery // Journal of Power Sources. – 2007. – 166:531–6.
10. Wu D., Xu T., Wu L., Wu Y. Hybrid acid-base polymer membranes prepared for application in fuel cells // Journal of Power Sources. – 2009. – 186:286–92.
11. Kim D.S., Liu B., Guiver M.D. Influence of silica content in sulfonated poly(arylene ether ether ketone ketone) (SPAEEKK) hybrid membranes on properties for fuel cell application // Polymer. – 2006. – Vol. 47. – P. 7871–7880.
12. Мамуня Є. П., Юрженко М. В., Лебедєв Є. В. та ін. Електроактивні полімерні матеріали. – К., 2013. – 397 с.